

УДК 538.113:541.515:547.63'118

ХИМИЯ

А. В. ИЛЬЯСОВ, Я. А. ЛЕВИН, И. Д. МОРОЗОВА,
А. А. ВАФИНА, И. П. ГОЗМАН, Е. И. ЗОРОАЦКАЯ

О ДЕЛОКАЛИЗАЦИИ НЕСПАРЕННОГО ЭЛЕКТРОНА
В ФОСФОРСОДЕРЖАЩИХ АНИОН-РАДИКАЛАХ

(Представлено академиком Б. А. Арбузовым 11 V 1971)

В последнее время в литературе проявляется большой интерес к вопросу о том, являются ли элементы третьего периода таблицы Менделеева «изолирующими мостиками» в системах сопряжения или они способны участвовать в цепи сопряжения⁽¹⁻⁸⁾. Полученные до сих пор результаты противоречивы и не дают однозначного ответа на этот вопрос. Считается, что в анион-радикале (а.-р.) $\text{Ph}_3\text{Si}^{\cdot-}$ атом кремния является изолирующей группировкой и неспаренный электрон (н.э.) делокализован только в одном фенильном кольце⁽⁴⁾. При изучении же а.-р. $[\text{Ph}_3\text{PO}]^{\cdot-}$ сделано заключение, что атом фосфора не препятствует делокализации н.э. по всем фенильным кольцам в молекуле^(3, 8). В а.-р. $[\text{Ph}_3\text{P}]^{\cdot-}$ была обнаружена неравноценность фенильных колец^(3, 6), что затем было объяснено влиянием^(3, 7) несимметрично присоединенного атома калия в молекуле. Во всех этих работах а.-р. получались восстановлением соответствующих соединений щелочными металлами. Очевидно, в этом случае возможно образование ионных пар катионов металла с а.-р., что искаляет распределение спиновой плотности и, следовательно, не дает возможности определить истинную электронную структуру свободного а.-р. Поэтому необходимо применение электрохимического метода восстановления, где использование полярных растворителей и объемистых противоионов позволяет ослабить тенденцию а.-р. к образованию ионных пар. Однако при электрохимическом генерировании а.-р. элементоорганических соединений возникают заметные трудности, связанные с очень большой величиной потенциала восстановления этих соединений и неустойчивостью образующихся а.-р. Поэтому такие ион-радикалы электрохимическим методом восстановления долгое время получить не удавалось. В работе⁽⁸⁾ было показано, что более строгий подход к проблеме электрохимического генерирования ион-радикалов, применение специально сконструированной ячейки^(9, 10) позволяет получить и исследовать методом э.п.р. нестабильные а.-р. трифенилфосфина, его окиси и их производных.

В данном сообщении приводятся результаты анализа распределения спиновой плотности в а.-р. трифенилфосфина и его окиси, полученных электрохимическим восстановлением. Для строгого установления картины делокализации н.э. нами были синтезированы и изучены а.-р. полностью и частично дейтерированных Ph_3P и Ph_3PO . Первичность зафиксированных методом э.п.р. а.-р. была показана ранее комплексом электрохимических методов^(8, 9). Исследовались вакуумированные (10^{-5} тор) диметилформамидные (ДМФА) и в некоторых случаях ацетонитрильные растворы, концентрация восстанавливаемого вещества $\sim 5 \cdot 10^{-3}$ мол/л. Спектры э.п.р. снимались на спектрометрах ЕР-9 (К. Цейсс, ГДР) и РЭ-1301 при $T=200-300$ и 77°K . Анализ сверхтонкой структуры (с.т.с.) производился по известной методике⁽¹¹⁾, а также с помощью анализатора спектров JRA-1 (JEOL, Япония).

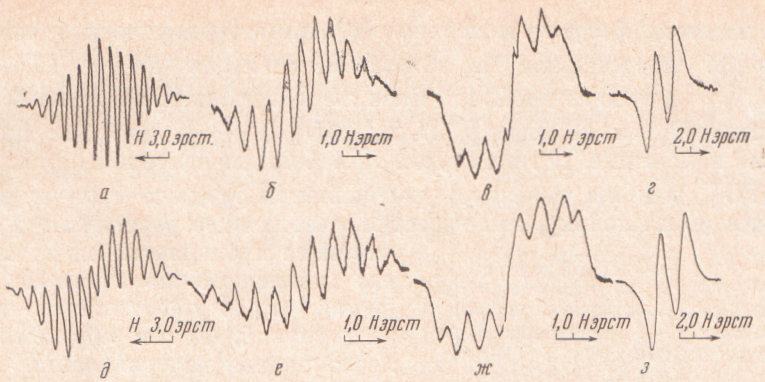


Рис. 1. Спектры э.п.р. электрохимически генерированных анион-радикалов $(C_6H_5)_3P^\pm$ (α), $(C_6H_5)_2P(C_6D_5)^\pm$ (δ), $(C_6H_5)P(C_6D_5)_2^\pm$ (β), $(C_6D_5)_3P^\pm$ (ε), $(C_6H_5)_3PO^\pm$ (ζ), $(C_6H_5)_2P(O)(C_6D_5)^\pm$ (θ), $(C_6H_5)P(O)(C_6D_5)_2^\pm$ (η), $(C_6D_5)_3PO^\pm$ (η) ($T = 210\text{ K}$)

Как видно из рис. 1, спектры э.п.р. а.-р. $[(C_6H_5)_3P]^\pm$ и $[(C_6H_5)_3PO]^\pm$ сходны, однако, несколько различаются соотношением интенсивностей 16 наблюдаемых линий и фактором спектроскопического расщепления $g = 2,0031$ и $2,0033$, соответственно*. Спектры э.п.р. практически не зависят от растворителя. Наблюдаемая с.т.с. а.-р. $[(C_6H_5)_3P]^\pm$ и $[(C_6H_5)_3PO]^\pm$ объясняется взаимодействием н.э. с ядром P^{31} ($I = \frac{1}{2}$), пара- и орто-протонами трех фенильных колец. При этом ширина сверхтонких компонент не зависит от температуры, что, очевидно, связано с тем, что она обусловлена неразрешенной с.т.с. от мета-протонов. При понижении температуры до $\sim 200\text{ K}$ эта неразрешенная с.т.с. начинает проявляться. Значения констант с.т.с., при которых достигается наилучшее согласие наблюдавшихся и теоретических спектров э.п.р., приведены в табл. 1. На рис. 2 составлен спектр э.п.р. а.-р. $[(C_6H_5)_3P]^\pm$ с теоретическим спектром, полученным с помощью JRA-1. Содержащиеся в табл. 1 значения констант с.т.с. отличаются от литературных данных для этих же а.-р., полученных восстановлением щелочными металлами^(3, 6, 7). Это связано с тем, что в нашем случае спектры э.п.р. относятся к почти свободным а.-р., а не к ионным парам а.-р. с катионом щелочного металла. Отметим, что катион щелочного металла, как было установлено нами, оказывает свое влияние и при использовании его соли в качестве фонового электролита при электрохимическом генерировании а.-р. Для того чтобы более наглядно проследить делокализацию н.э. и твердо убедиться в том, что она действительно распространяется на все три фенила и атом фосфора, рассмотрим спектры э.п.р. электрохимически генерированных а.-р. полностью и частично дейтерированных трифенилфосфина и трифенилфосфиноксида (рис. 1). Дублетные спектры э.п.р. $[(C_6D_5)_3P]^\pm$ и $[(C_6D_5)_3PO]^\pm$ обусловлены взаимодействием н.э. с ядром P^{31} и позволяют точно определить величину a^P , а с.т.с. а.-р. частично дейтерированных производных однозначно решает вопрос о характере делокализации н.э. Если бы н.э. в а.-р. $[(C_6H_5)P(O)(C_6D_5)_2]^\pm$ был бы делокализован



Рис. 2. Экспериментальный (а) и теоретический (б) (JRA-1) спектры э.п.р. анион-радикала трифенилфосфина

* В определенных условиях нами были зафиксированы также спектры э.п.р. других парамагнитных продуктов.

лизован на атоме фосфора и только на одном ароматическом кольце, то спектр э.п.р. представлял бы наложение спектров а.-р. $[(C_6D_5)_3PO]^-$ и $[(C_6H_5)_3P]^-$ в отношении 2:1*. Если же н.э. делокализован на всех ароматических кольцах, то спектр $[(C_6H_5)P(O)(C_6D_5)_2]^-$ не будет представлять такое наложение. В этом случае из наблюдаемой картины с.т.с. от а.-р. $[(C_6H_5)_3PO]^-$ должны исчезнуть расщепления от двух пара- и четырех орто-протонов, поскольку, как известно, сверхтонкое расщепление от дейтерия не проявляется из-за малости его магнитного момента. Из рис. 1в видно, что осуществляется именно этот случай. Таким образом, имеет место полная делокализация н.э. на всех ароматических ядрах, которые являются эквивалентными. Это заключение справедливо и для а.-р. трифенилфосфина. Отметим, что некоторое различие в величинах констант с.т.с. от ядра фосфора в неделокализованных и делокализованных а.-р. может быть связано с влиянием дейтерия, что отмечалось и для других свободных радикалов (12).

Таблица 1

Константы с.т.с. электрохимически генерированных а.-р. трифенилфосфина и трифенилфосфиноксида в ДМФА,
 $\pm 0,1 \text{ э}$

Анион-радикал	a^P	a_n^H	a_o^H
$(C_6H_5)_3P^-$	3,1	2,2	— 1,1 —
$(C_6D_5)_3P^-$	3,4		
$(C_6H_5)_3PO^-$	4,0	2,8	1,4
$(C_6D_5)_3PO^-$	4,4		

Как видно из данных табл. 1, сверхтонкие расщепления a^P в $[Ph_3P]^-$ $[Ph_3PO]^-$ близки; по-видимому, изменения в спиновой плотности компенсируются изменениями в гибридизации у атома фосфора. Аналогичное явление наблюдалось и для радикалов второго периода — дифенилазота и дифенилазотокси (13, 14).

Некоторую информацию об относительном вкладе 3s- и 3p-орбиталей атома фосфора в волновую функцию неспаренного электрона можно получить из спектров э.п.р. замороженных (застеклованных) растворов анион-радикалов, хотя интерпретация таких спектров довольно сложна, а в некоторых случаях анизотропные спектры органических ион-радикалов вообще не наблюдаются. На рис. 4 приведен спектр замороженного диметилформамидного раствора анион-радикала $[(C_6D_5)_3PO]^-$. Аналогичные спектры наблюдаются и для застеклованных растворов $[(C_6H_5)_3PO]^-$, $[(C_6H_5)_3P]^-$ и $[(C_6D_5)_3P]^-$. Наблюданная анизотропная с.т.с. обусловлена взаимодействием н.э. с ядром P^{31} . Найдено, что $A_{\parallel} = 13,6 \pm 1,0$ и $14,7 \pm 1,0 \text{ э}$ для $[(C_6D_5)_3PO]^-$ и $[(C_6D_5)_3P]^-$, соответственно; $\Delta g = g_{\parallel} - g_{\perp} \approx \approx 0,001$. Аксиально симметричный тензор сверхтонкого взаимодействия связывается с вкладами 3s и 3p-электронов, при этом отношение 3p/3s для а.-р. трифенилфосфина в 1,3 раза больше, чем для а.-р. трифенилфосфиноксида. Поскольку тензор сверхтонкого взаимодействия имеет аксиальную симметрию, значения g -фактора не позволяют сколько-нибудь обоснованно судить о возможном вкладе d-орбиталей (15).

Приведенные нами исследования однозначно свидетельствуют о том, что в а.-р. как трех-, так и четырехкоординированного фосфора наблюдается делокализация н.э. по всей молекуле и атом фосфора не является «изолирующим мостиком». Выяснение механизма передачи спиновой плотности через атом фосфора требует дальнейших исследований.

* Действительно, такой спектр был зафиксирован нами при восстановлении раствора, содержащего $[(C_6H_5)_3PO]^-$ и $[(C_6D_5)_3PO]^-$ в отношении 1:2 (рис. 3). Это обстоятельство исключает предположение, что наблюдаемый для $[(C_6H_5)P(O)(C_6D_5)_2]^-$ спектр мог бы быть объяснен быстрым обменом между а.-р. обоих типов и исходной молекулой при локализации н.э. в одном из колец. Быстрый внутримолекулярный перенос электрона с кольца на кольцо невозможен, в первую очередь, по стерическим причинам.

Предварительные расчеты, проведенные нами, показали, что в отличие от соединений элементов второго периода, электронная структура а.-р., содержащих фосфор, не может быть описана простой π -электронной теорией. Непригодной оказалась и так называемая d -модель, которая нередко привлекается для объяснения особенностей соединений третьего периода, хотя качественно делокализация н.э. по всем фенильным кольцам в а.-р. $[\text{Ph}_3\text{P}]^+$ и $[\text{Ph}_3\text{PO}]^+$ может быть объяснена наличием у атома фосфора вакантных d -орбиталей. Очевидно, в данном случае необходимо использовать представления о полностью делокализованных молекулярных орбиталях, многоцентровых связях и проводить расчет с учетом всех валентных электронов.

Развитый здесь подход к оценке характера делокализации н.э.



Рис. 3. Спектр э.п.р. анион-радикала, полученного при восстановлении смеси $(\text{C}_6\text{D}_5)_3\text{PO}$ и $(\text{C}_6\text{H}_5)_3\text{PO}$ ($T = 210^\circ\text{K}$)



Рис. 4. Спектр э.п.р. анион-радикала трифенилфосфиноксида при 77°K

в а.-р. фенильных производных элементов (электрохимическое генерирование, исследование спектров э.п.р. недейтерированных, дейтерированных и частично дейтерированных а.-р. и их смесей), очевидно, является общим, и мы надеемся применить его к другим а.-р. типа $[(\text{C}_6\text{H}_5)_n\text{E}]^+$.

Институт органической и физической химии
им. А. Е. Арбузова
Академии наук СССР
Казань

Поступило
27 IV 1974

ЦИТИРОВАННАЯ ЛИТЕРАТУРА

- ¹ Е. Н. Цветков, М. И. Кабачник, Усп. хим., **40**, 177 (1971). ² Radical Ions, Е. Т. Kaiser, L. Kevan (Ed.), N. Y., 1968, p. 275. ³ М. И. Кабачник, В. В. Воеводский и др., ЖХХ, **34**, 3234 (1964). ⁴ И. Г. Макаров, В. М. Казакова, ЖХХ, **9**, 996 (1968). ⁵ В. В. Пеньковский, Ю. П. Егоров и др., Теоретич. и эксп. хим., **6**, 819 (1970). ⁶ М. Hanna, J. Chem. Phys., **37**, 685 (1962). ⁷ A. H. Cowley, M. H. Npoosh, Am. Chem. Soc., **88**, 2595 (1966). ⁸ А. В. Ильинов, Ю. М. Каргин и др., Изв. АН СССР, сер. хим., **1971**, 770. ⁹ А. В. Ильинов, Ю. М. Каргин и др., Изв. АН СССР, сер. хим., **1968**, 736, 740. ¹⁰ А. В. Ильинов, Ю. М. Каргин и др., Изв. АН СССР, сер. хим., **1971**, 932. ¹¹ Атлас спектров ЭПР, Изв. АН СССР, 1962. ¹² M. R. Das, G. K. Fraenkel, J. Chem. Phys., **42**, 792 (1965). ¹³ J. Pannell, Mol. Phys., **5**, 291 (1962). ¹⁴ Y. Deguchi, Bull. Chem. Soc. Japan, **35**, 260 (1962). ¹⁵ П. Эткинс, М. Саймонс, Спектры ЭПР и строение неорганических радикалов, М., 1970.